

EKO-CONNECT
LABORATORIUM BADAWCZE PÓL ELEKTROMAGNETYCZNYCH

EKO-Connect Sp. z o.o.
60-591 POZNAŃ, ul. MIODOWA 14A
Tel. 790 200 181
Tel. 790 004 761
e-mail: laboratorium@eko-connect.pl

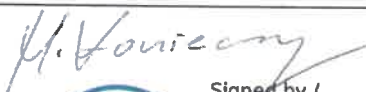



AB 1810

SPRAWOZDANIE NR OS/0508/23

Z POMIARÓW NATĘŻENIA PÓL ELEKTROMAGNETYCZNYCH

WYKONANYCH DLA CELÓW OCHRONY ŚRODOWISKA

Miejsce wykonania badania: <small>(dane uzyskane od zleceniodawcy)</small>	MIE3313A 39-300 Rzędzianowice, dz. nr 216/3, pow. mielecki, woj. PODKARPACKIE	
Współrzędne geograficzne:	50°20'08.42"N, 21°23'29.86"E	
Data wykonania pomiarów:	03.11.2023	
Data wydania sprawozdania:	03.11.2023	
Zleceniodawca:	P4 sp. z o.o. ul. Wynałazek 1 02-667 Warszawa	
Sprawozdanie sporządził:	Maciej Konieczny	 Signed by / Podpisano przez:
Sprawozdanie autoryzował:	Wojciech Lubiński	 Wojciech Grzegorz Lubiński Date / Data: 2023-11-06 11:10

1. INFORMACJE O UŻYTKOWNIKU

1.1. Zleceniodawca: P4 sp. z o.o. ul. Wynalazek 1, 02-667 Warszawa

1.2. Charakterystyka obiektu:

- Typ obiekt: Instalacja radiokomunikacyjna zainstalowana na wieży kratowej
- Numer obiektu: MIE3313A
- Adres obiektu: 39-300 Rzędzianowice, dz. nr 216/3, pow. mielecki, woj. PODKARPACKIE
- Współrzędne geograficzne: 50°20'08.42"N, 21°23'29.86"E

2. CHARAKTERYSTYKA ŹRÓDEŁ PEM (dane pozyskane od Klienta)

Tabela 1. Parametry systemu nadawczo-odbiorczego

Charakterystyka promieniowania					kierunkowa				
Rzeczywisty czas pracy [h/dobę]					Całodobowa 24h				
Warunki pracy					Znamionowe				
Rodzaj wytwarzanego pola					stacjonarne				
Lp.	Typ nadajnika	Antena Producent / Typ	Azymut [°]	Wysokość środka elektr. anteny [m n.p.t.]	Pasma [Mhz]	Kąt nachylenia [°]	EIRP dla anteny [W]	LON	LAT
1	RBS6xxx/2xxx/4xxx	Huawei ADU4518R7	30	53	800	0 - 12	1314	21°23'29.86"E	50°20'08.42"N
	1800				2 - 12	21°23'29.86"E		50°20'08.42"N	
	2100				2 - 12	21°23'29.86"E		50°20'08.42"N	
2	RBS6xxx/2xxx/4xxx	Huawei ADU4518R7	30	53	800	0 - 12	1400	21°23'29.86"E	50°20'08.42"N
	1800				2 - 12	21°23'29.86"E		50°20'08.42"N	
	2100				2 - 12	21°23'29.86"E		50°20'08.42"N	
3	RBS6xxx/2xxx/4xxx	Huawei A704516R0	30	53	900	0 - 12	1000	21°23'29.86"E	50°20'08.42"N
4	RBS6xxx/2xxx/4xxx	Huawei ADU4518R7	150	53	800	0 - 12	1314	21°23'29.86"E	50°20'08.42"N
	1800				2 - 12	21°23'29.86"E		50°20'08.42"N	
	2100				2 - 12	21°23'29.86"E		50°20'08.42"N	
5	RBS6xxx/2xxx/4xxx	Huawei ADU4518R7	150	53	800	0 - 12	1400	21°23'29.86"E	50°20'08.42"N
	1800				2 - 12	21°23'29.86"E		50°20'08.42"N	
	2100				2 - 12	21°23'29.86"E		50°20'08.42"N	
6	RBS6xxx/2xxx/4xxx	Huawei A704516R0	150	53	900	0 - 12	1000	21°23'29.86"E	50°20'08.42"N
7	RBS6xxx/2xxx/4xxx	Huawei ADU4518R7	270	53	800	0 - 12	1314	21°23'29.86"E	50°20'08.42"N
	1800				2 - 12	21°23'29.86"E		50°20'08.42"N	
	2100				2 - 12	21°23'29.86"E		50°20'08.42"N	
8	RBS6xxx/2xxx/4xxx	Huawei ADU4518R7	270	53	800	0 - 12	1400	21°23'29.86"E	50°20'08.42"N
	1800				2 - 12	21°23'29.86"E		50°20'08.42"N	
	2100				2 - 12	21°23'29.86"E		50°20'08.42"N	
9	RBS6xxx/2xxx/4xxx	Huawei A704516R0	270	53	900	0 - 12	1000	21°23'29.86"E	50°20'08.42"N

Tabela 2. Parametry radiolinii

Charakterystyka promieniowania				kierunkowa					
Rzeczywisty czas pracy [h/dobę]				24					
Rodzaj wytwarzanego pola				stacjonarne					
Linia radiowa				Antena					
L p.	Typ nadajnika	Częstotliwość pracy [GHz]	Moc wyjściowa [dBm]	Typ/producent	Średnica anteny [m]	Azymut [°]	Wysokość zainstal. [m]	LON	LAT
1	OPTIX RTN/HUAWEI	32	23	0.3-32(VHLP1-32)	0,3	285	51	21°23'29.86"E	50°20'08.41"N

Inne źródła PEM: W obszarze pomiarowym badanego obiektu nie występują inne źródła promieniowania pola elektromagnetycznego, które w zakresie badanych częstotliwości bezpośrednio wpływają na wynik wartości mierzonej natężenia pola.

3. OPIS POMIARÓW

Cel badań: Sprawdzenie dotrzymania dopuszczalnych poziomów pól elektromagnetycznych, w otoczeniu instalacji wytwarzających takie pola.

3.1. Data pomiarów: 03.11.2023

3.2. Nazwiska osób wykonujących pomiary: Bartosz Piotrowski

3.3. Osoba towarzysząca: brak

3.4. Aparatura pomiarowa:

Tabela 3. Opis zestawu pomiarowego

Nazwa	Typ/model	Numer fabryczny/SN	Świadectwo wzorcowania	Zastosowanie
Szerokopasmowy miernik natężenia pola elektromagnetycznego	NBM- 520	D-2228	LWiMP/W/088/22 z dnia 19.05.2022 (Laboratorium Wzorców i Metrologii Pola Elektromagnetycznego Instytutu Telekomunikacji, Teleinformatyki i Akustyki Politechniki Wrocławskiej)	Pomiary pola elektromagnetycznego
Sonda pomiarowa pola elektrycznego	EF-9091	A-0139		
Szerokopasmowy miernik natężenia pola elektromagnetycznego	NBM- 520	D-2188	LWiMP/W/56/23 z dnia 17.02.2023 (Laboratorium Wzorców i Metrologii Pola Elektromagnetycznego Instytutu Telekomunikacji, Teleinformatyki i Akustyki Politechniki Wrocławskiej)	
Sonda pomiarowa pola elektrycznego	EF-0691	J-0214		
Termohigrometr	ETI 600 224-600	D22060186	LPTW/326/2022 z dnia 10.05.2022 (LPTW)	Pomiary wilgotności względnej powietrza Pomiary temperatury powietrza
Dalmierz laserowy	PLR30C	221208895	45854/1 /2022 z dnia 17.05.2022 (Laboratorium pomiarowe LABOTRONIC)	Pomiar odległości
Odbiornik GPS	Garmin GLO2	1792A-A1156/5PS066633	-	Pomiar współrzędnych geograficznych

3.5. Wyznaczenie niepewności pomiarów:

Ocenę niepewności przyjmuje się zgodnie z procedurą stosowaną w laboratorium.

Wyznaczona rozszerzona niepewność pomiaru dla współczynnika rozszerzenia $k = 2$ dla zestawu pomiarowego z pkt.3.5 w dniu pomiaru wynosi 21,46%.

3.6. Kryteria przedstawiania stwierdzeń zgodności

Niniejsze sprawozdanie zgodnie z zasadami systemu akredytacji zawiera stwierdzenia zgodności.

W przypadku badań poziomów pola elektromagnetycznego w środowisku stwierdzenie zgodności dotyczy rozstrzygnięcia, czy zmierzona wartość opisująca pole elektromagnetyczne przekracza wartość dopuszczalną dla zakresu częstotliwości, w którym pracują źródła podaną w Rozporządzeniu Ministra Zdrowia z dnia 17 grudnia 2019 r. w sprawie dopuszczalnych poziomów pól elektromagnetycznych w środowisku (Dz. U. z 2019 r. poz. 2448).

3.7. Metodyka wykonania pomiarów:

Zastosowano metodę znormalizowaną w oparciu o Rozporządzenie Ministra Klimatu i Środowiska z dnia 6 maja 2022 r. zmieniające rozporządzenie w sprawie sposobów sprawdzania dotrzymania dopuszczalnych poziomów pól elektromagnetycznych w środowisku (Dz.U. 2022 poz. 1121).

3.8. Przepisy prawne:

- Ustawa z dnia 27 kwietnia 2001 r. Prawo ochrony środowiska (Dz. U. 2022 poz. 2556).
- Rozporządzenie Ministra Zdrowia z dnia 17 grudnia 2019 r. w sprawie dopuszczalnych poziomów pól elektromagnetycznych w środowisku (Dz. U. z 2019 r. poz. 2448).
- Rozporządzenie Ministra Klimatu z dnia 17 lutego 2020 r. w sprawie sposobów sprawdzania dotrzymania dopuszczalnych poziomów pól elektromagnetycznych w środowisku Załącznik do obwieszczenia Ministra Klimatu i Środowiska z dnia 21 listopada 2022 r. (Dz. U. poz. 2630)

3.9. Opis pomiarów

Stacja bazowa MIE3313A usytuowana jest na wieży kratowej zlokalizowanej pod adresem 39-300 Rzędzianowice, dz. nr 216/3, pow. mielecki, woj. PODKARPACIE. Anteny i moduły RRU zamontowane są na antenowych konstrukcjach wsporczych a urządzenia są w szafie APM zainstalowanej u podnóża wieży. W otoczeniu stacji zlokalizowana jest zabudowa jednorodzinna oraz pola uprawne. Analiza parametrów technicznych wykazała, że urządzenia nadawcze stacji pracują w paśmie częstotliwości zgodnie z tabelą 1 oraz tabelą 2. Moc wyjściowa nadajników doprowadzona jest do anten przy pomocy ekranowanych fiderów.

Pomiary w otoczeniu Stacji bazowej wykonano wzdłuż kierunków maksymalnego zasięgu oddziaływania pola elektromagnetycznego na azymucie anten sektorowych do odległości określonej zgodnie z wytycznymi zawartymi w instrukcji wykonywania pomiarów, w godzinach od 11:40 do 12:20, podczas rzeczywistej pracy urządzeń wytwarzających pola elektromagnetyczne. Pomiary wykonano dla średniego pochylenia wiązki liczonego jako średnia arytmetyczna z minimalnej i maksymalnej wartości stosowanego lub planowanego kąta pochylenia

Pomiary w przyjętych pionach pomiarowych wykonano w punktach położonych na wysokościach od 0,3 m do 2,0 m nad powierzchnią ziemi lub nad innymi powierzchniami, na których mogą przebywać ludzie, przyjmując za wynik pomiaru maksymalny poziom natężenie pól elektromagnetycznego.

Przy doborze pionów pomiarowych uwzględniono charakter i sposób zagospodarowania terenu otaczającego stację bazową.

3.10. Warunki meteorologiczne / środowiskowe:

Miejsce pomiaru	Temperatura (Minimalna/Maksymalna) [°C]	Wilgotność (Minimalna/Maksymalna) [%]	Opady atmosferyczne
Ulica	12,5/13,1	49,2/49,7	nie wystąpiły

3.11. Sposób identyfikacji widma częstotliwości:

Parametry stacji bazowej uzyskane od właściciela instalacji stacji bazowej.

4. WYNIKI POMIARÓW

Wyniki pomiarów ważne są jedynie dla danej konfiguracji urządzeń w dniu, w którym wykonano pomiary.

Wynik pomiaru, to maksymalna wartości chwilowa zmierzona w danym pionie pomiarowym powiększona o rozszerzoną niepewność pomiaru U dla współczynnika rozszerzenia $k = 2$.

Tabela 3. Dopuszczalne poziomy pól elektromagnetycznych

Parametr fizyczny Zakres częstotliwości pola elektromagnetycznego	Składowa elektryczna	Składowa magnetyczna
od 400 MHz do 2000 MHz	$1,375 \times f^{0,5}$ V/m	$0,00375 \times f^{0,5}$ A/m
Od 2 GHz do 300 GHz	61 V/m	0,16 A/m

Do wyznaczania wartości wskaźnikowych WM_E i WM_H przyjęto najniższe wartości dopuszczalne poziomów pól elektromagnetycznych w/w zakresów częstotliwości.

Tabela 4. Wyniki pomiarów

Nr pionu	Opis miejsca pomiaru	Pomiar wewnątrz pomieszczenia	Współrzędne geograficzne		Wynik poniżej progu detekcji*	E_p [V/m]	U [V/m]	$E_p + U$ [V/m]	H [A/m]	WM_E	WM_H	Przekroczenie wartości dopuszczalnej
			[°] N	[°] E								
1	Poziom gruntu - oś głównej wiązki anteny sektorowej azymut 30st	NIE	50,335752786	21,391560833	NIE	1,23	0,27	1,50	0,004	0,05	0,054	nie przekracza
2	Poziom gruntu - oś głównej wiązki anteny sektorowej azymut 30st	NIE	50,336319444	21,392102067	NIE	1,08	0,24	1,32	0,004	0,05	0,047	nie przekracza
3	Poziom gruntu - oś głównej wiązki anteny sektorowej azymut 30st	NIE	50,336869115	21,392570238	NIE	1,09	0,24	1,33	0,004	0,05	0,048	nie przekracza
4	Poziom gruntu - oś głównej wiązki anteny sektorowej azymut 30st	NIE	50,337477178	21,393120800	NIE	0,92	0,20	1,12	0,003	0,04	0,040	nie przekracza
5	Poziom gruntu - oś głównej wiązki anteny sektorowej azymut 30st	NIE	50,338085828	21,393671459	NIE	0,90	0,20	1,10	0,003	0,04	0,039	nie przekracza
6	Poziom gruntu - pomocniczy pion pomiarowy	NIE	50,337588194	21,394014722	NIE	0,92	0,20	1,12	0,003	0,04	0,040	nie przekracza
7	Poziom gruntu - pomocniczy pion pomiarowy	NIE	50,336941296	21,394227747	NIE	0,92	0,20	1,12	0,003	0,04	0,040	nie przekracza
8	Poziom gruntu - pomocniczy pion pomiarowy	NIE	50,336705480	21,393782558	TAK	<0,80	0,18	0,98	0,003	0,04	0,035	nie przekracza
9	Poziom gruntu - pomocniczy pion pomiarowy	NIE	50,336336198	21,393308999	TAK	<0,80	0,18	0,98	0,003	0,04	0,035	nie przekracza
10	Poziom gruntu - pomocniczy pion pomiarowy	NIE	50,336142098	21,393082579	NIE	0,89	0,20	1,09	0,003	0,04	0,039	nie przekracza

Nr pionu	Opis miejsca pomiaru	Pomiar wewnątrz pomieszczenia	Współrzędne geograficzne		Wynik poniżej progu detekcji*	E _p [V/m]	U [V/m]	E _p + U [V/m]	H [A/m]	WM _E	WM _H	Przekroczenie wartości dopuszczalnej
			[°] N	[°] E								
11	Poziom gruntu - pomocniczy pion pomiarowy	NIE	50,335970690	21,393101046	TAK	<0,80	0,18	0,98	0,003	0,04	0,035	nie przekracza
12	Poziom gruntu - pomocniczy pion pomiarowy	NIE	50,335679630	21,393037668	TAK	<0,80	0,18	0,98	0,003	0,04	0,035	nie przekracza
13	Poziom gruntu - pomocniczy pion pomiarowy	NIE	50,335391995	21,392976268	NIE	0,90	0,20	1,10	0,003	0,04	0,039	nie przekracza
14	Poziom gruntu - pomocniczy pion pomiarowy	NIE	50,334788204	21,392891757	NIE	0,90	0,20	1,10	0,003	0,04	0,039	nie przekracza
15	Poziom gruntu - pomocniczy pion pomiarowy	NIE	50,334466012	21,392825012	TAK	<0,80	0,18	0,98	0,003	0,04	0,035	nie przekracza
16	Poziom gruntu - oś głównej wiązki anteny sektorowej azymut 150st	NIE	50,334120731	21,392757107	NIE	0,92	0,20	1,12	0,003	0,04	0,040	nie przekracza
17	Poziom gruntu - oś głównej wiązki anteny sektorowej azymut 150st	NIE	50,333947949	21,392842306	TAK	<0,80	0,18	0,98	0,003	0,04	0,035	nie przekracza
18	Poziom gruntu - oś głównej wiązki anteny sektorowej azymut 150st	NIE	50,333665397	21,393095309	NIE	0,90	0,20	1,10	0,003	0,04	0,039	nie przekracza
19	Poziom gruntu - oś głównej wiązki anteny sektorowej azymut 150st	NIE	50,333345013	21,393389737	NIE	0,83	0,18	1,01	0,003	0,04	0,036	nie przekracza
20	Poziom gruntu - oś głównej wiązki anteny sektorowej azymut 150st	NIE	50,333290033	21,393814856	NIE	0,90	0,20	1,10	0,003	0,04	0,039	nie przekracza
21	Poziom gruntu - oś głównej wiązki anteny sektorowej azymut 150st	NIE	50,333033571	21,393810989	TAK	<0,80	0,18	0,98	0,003	0,04	0,035	nie przekracza
22	Poziom gruntu - oś głównej wiązki anteny sektorowej azymut 150st	NIE	50,332938053	21,393791744	TAK	<0,80	0,18	0,98	0,003	0,04	0,035	nie przekracza
23	Poziom gruntu - oś głównej wiązki anteny sektorowej azymut 150st	NIE	50,333384234	21,392887999	NIE	0,82	0,18	1,00	0,003	0,04	0,036	nie przekracza
24	Poziom gruntu - oś głównej wiązki anteny sektorowej azymut 150st	NIE	50,333557276	21,392790175	TAK	<0,80	0,18	0,98	0,003	0,04	0,035	nie przekracza
25	Poziom gruntu - oś głównej wiązki anteny sektorowej azymut 150st	NIE	50,333754641	21,392801899	TAK	<0,80	0,18	0,98	0,003	0,04	0,035	nie przekracza
26	Poziom gruntu - oś głównej wiązki anteny sektorowej azymut 150st	NIE	50,334689746	21,392285590	TAK	<0,80	0,18	0,98	0,003	0,04	0,035	nie przekracza
27	Poziom gruntu - oś głównej wiązki anteny sektorowej azymut 150st	NIE	50,335007737	21,391882698	NIE	0,82	0,18	1,00	0,003	0,04	0,036	nie przekracza
28	Poziom gruntu - oś głównej wiązki anteny sektorowej azymut 150st	NIE	50,335196228	21,391708008	NIE	1,09	0,24	1,33	0,004	0,05	0,048	nie przekracza
29	Poziom gruntu - oś głównej wiązki anteny sektorowej azymut 150st	NIE	50,335490618	21,391441140	NIE	1,12	0,25	1,37	0,004	0,05	0,049	nie przekracza
30	Poziom gruntu - oś głównej wiązki anteny radioliniowej azymut 285st	NIE	50,335667860	21,390745898	NIE	0,90	0,20	1,10	0,003	0,04	0,039	nie przekracza
31	Poziom gruntu - oś głównej wiązki anteny radioliniowej azymut 285st	NIE	50,335788229	21,390032160	NIE	0,82	0,18	1,00	0,003	0,04	0,036	nie przekracza
32	Poziom gruntu - oś głównej wiązki anteny sektorowej azymut 270st	NIE	50,335551542	21,389996193	NIE	0,96	0,21	1,17	0,003	0,04	0,042	nie przekracza
33	Poziom gruntu - oś głównej wiązki anteny sektorowej azymut 270st	NIE	50,335555278	21,389702085	NIE	0,82	0,18	1,00	0,003	0,04	0,036	nie przekracza
34	Poziom gruntu - oś głównej wiązki anteny sektorowej azymut 270st	NIE	50,335556364	21,388918555	TAK	<0,80	0,18	0,98	0,003	0,04	0,035	nie przekracza
35	Poziom gruntu - oś głównej wiązki anteny sektorowej azymut 270st	NIE	50,335555064	21,387800890	TAK	<0,80	0,18	0,98	0,003	0,04	0,035	nie przekracza

Nr pionu	Opis miejsca pomiaru	Pomiar wewnątrz pomieszczenia	Współrzędne geograficzne		Wynik poniżej progu detekcji*	E _p [V/m]	U [V/m]	E _p + U [V/m]	H [A/m]	WM _E	WM _H	Przekroczenie wartości dopuszczalnej
			[°] N	[°] E								
36	Poziom gruntu - oś głównej wiązki anteny sektorowej azymut 270st	NIE	50,335555470	21,386823995	NIE	0,82	0,18	1,00	0,003	0,04	0,036	nie przekracza
37	Poziom gruntu - oś głównej wiązki anteny sektorowej azymut 270st	NIE	50,335557565	21,390827023	NIE	1,20	0,26	1,46	0,004	0,05	0,052	nie przekracza
38	Poziom gruntu - oś głównej wiązki anteny sektorowej azymut 30st	NIE	50,336108995	21,391883858	NIE	0,90	0,20	1,10	0,003	0,04	0,039	nie przekracza
39	Poziom gruntu - pomocniczy pion pomiarowy	NIE	50,336186350	21,391494142	NIE	0,82	0,18	1,00	0,003	0,04	0,036	nie przekracza
40	Poziom gruntu - pomocniczy pion pomiarowy	NIE	50,335960828	21,392569730	TAK	<0,80	0,18	0,98	0,003	0,04	0,035	nie przekracza
41	Poziom gruntu - pomocniczy pion pomiarowy	NIE	50,335918689	21,392820384	TAK	<0,80	0,18	0,98	0,003	0,04	0,035	nie przekracza
42	Poziom gruntu - pomocniczy pion pomiarowy	NIE	50,336473665	21,391234133	TAK	<0,80	0,18	0,98	0,003	0,04	0,035	nie przekracza
43	Poziom gruntu - pomocniczy pion pomiarowy	NIE	50,336589649	21,390539412	TAK	<0,80	0,18	0,98	0,003	0,04	0,035	nie przekracza
44	Poziom gruntu - pomocniczy pion pomiarowy	NIE	50,336694696	21,390039136	TAK	<0,80	0,18	0,98	0,003	0,04	0,035	nie przekracza
45	Poziom gruntu - pomocniczy pion pomiarowy	NIE	50,33557524	21,39170899	NIE	1,05	0,23	1,28	0,003	0,05	0,046	nie przekracza

Objaśnienia:

$$E_p: E_{poprawne} = E_{wskazane} * C_{d(E)} * C_{f(f)}$$

U - rozszerzona niepewność pomiaru dla współczynnika rozszerzenia k=2 (poziom ufności 95%) – $U = k \times U_c$

H – wyznaczona wartość natężenia pola magnetycznego z uwzględnieniem współczynnika korekcyjnego oraz rozszerzonej niepewności pomiaru.

WM_E - wartość wskaźnikowa poziomu oddziaływania pól elektromagnetycznych dla miejsc dostępnych dla ludności dla składowej elektrycznej pola.

WM_H - wartość wskaźnikowa poziomu oddziaływania pól elektromagnetycznych dla miejsc dostępnych dla ludności dla składowej magnetycznej pola.

* Wynik poniżej progu detekcji - wartość zmierzona poniżej zakresu akredytacji. Do obliczeń przyjęto wartość zgodną z dolną granicą akredytowanego zakresu pomiarowego metody.

5. WNIOSKI

Stwierdza się, iż na podstawie uzyskanych wyników pomiarów i informacji uzyskanych od operatora, w otoczeniu stacji bazowej telefonii komórkowej MIE3313A w miejscach dostępnych dla ludności, w których dokonano pomiaru, nie zostały przekroczone wartości graniczne poziomów pól elektromagnetycznych określonych w Rozporządzeniu Ministra Zdrowia z dnia 17 grudnia 2019 r. w sprawie dopuszczalnych poziomów pól elektromagnetycznych w środowisku (Dz. U. z 2019 r. poz. 2448).

Stwierdzenie zgodności zostało przedstawione na podstawie wyników badań oraz informacji uzyskanych od klienta (za które Laboratorium nie ponosi odpowiedzialności) dla instalacji opisanej w punkcie 2. Stwierdzenia zgodności dokonano na podstawie zasady podejmowania decyzji i wymagań zawartych w załączniku do Rozporządzenia Ministra Klimatu z dnia 17 lutego 2020 r. w sprawie sposobów sprawdzania dotrzymania dopuszczalnych poziomów pól elektromagnetycznych w środowisku (Dz.U. 2022 poz. 2630 z 15.12.2022r.).

- Sprawozdanie zawiera 9 stron
- załączniki: nr 1 – mapa z rozmieszczeniem pionów pomiarowych wokół obiektu

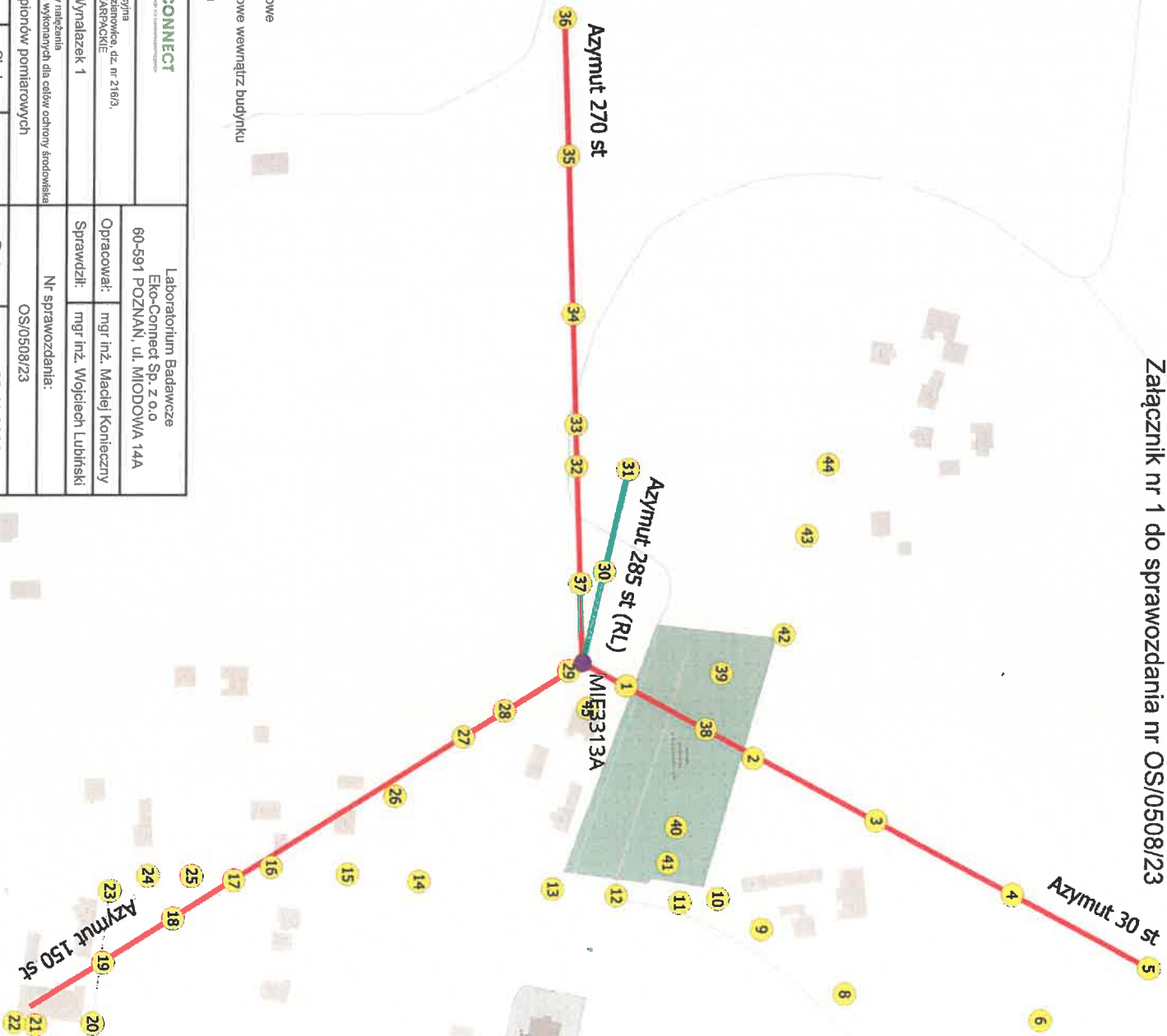
Bez pisemnego zezwolenia laboratorium Eko-Connect sprawozdanie nie może być powielane inaczej, jak tylko w całości.

■ Otrzymują:


1. Zleceniodawca: - 1 egz.
2. a / a: 1 egz.

Koniec sprawozdania

Załącznik nr 1 do sprawozdania nr OS/0508/23



- Legenda:
- - Punkty (piony) pomiarowe
 - - Punkty (piony) pomiarowe wewnątrz budynku
 - - Badana stacja bazowa

 Instalacja radiokomunikacyjna MIE3313A, 39-300 Reszetańkowa, dz. nr 216/3, pow. mielecki, woj. PODKARPACKIE		Laboratorium Badawcze Eko-Connect Sp. z o.o. 60-591 POZNAŃ, ul. MODDOWA 14A	
Obiekt:	Instalacja radiokomunikacyjna MIE3313A, 39-300 Reszetańkowa, dz. nr 216/3, pow. mielecki, woj. PODKARPACKIE	Opracował:	mgr inż. Maciej Koneczny
Investor:	P4 Sp. z o.o. ul. Wyzwałazek 1	Sprawił:	mgr inż. Wojciech Lubński
Nazwa projektu	Sprawozdanie z pomiarów natężenia pól elektromagnetycznych wykonanych dla celów ochrony środowiska	Nr sprawozdania:	
Nazwa rysunku	Rozmieszczenie pionów pomiarowych	OS/0508/23	
Nr rysunku	MIE3313/1	Skala	1:3000
		Data:	03.11.2023